

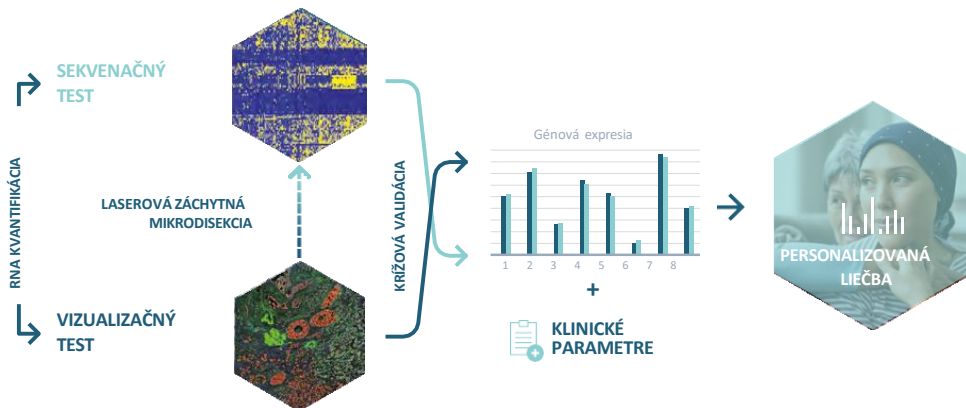
Multiplex8+ VÝSLEDKY



PACIENT	VZORKA	OŠETRUJÚCI LEKÁR
Meno:	ID vzorky: MDX-PT-43	Meno:
ID:	Dátum odberu:	Adresa:
Dátum správy:	Typ:	Kontakt:

POPIS TESTU

Test Multiplex8+ na rakovinu prsníka hodnotí biomarkery na báze RNA vykonaním **VIZUALIZAČNÉHO TESTU**, ktorý využíva RNA fluorescenčnú in situ hybridizáciu (RNA-FISH) na vizualizáciu panelu biomarkerov. Na základe expresie týchto biomarkerov a histológie tkانيva sa na vyčlenenie záujmových oblastí používa laserová záchytná mikrodisekcia. S týmito vzorkami obohatenými o nádor sa vykoná **SEKVENAČNÝ TEST**, ktorý využíva sekvenovanie novej generácie celkovej RNA na analýzu expresie génov s priestorovým rozlišením. Analytické overenie Multiplex8+ sa uskutočnilo na veľkej retrospektívnej kohorte 1 082 nádorov prsníka.



TEST POSKYTUJE INFORMÁCIE O:

- STAV RECEPTOROV:** pre expresiu RNA estrogénového receptora, progesterónového receptora, receptora Her2 a Ki67 meranú a krízovo overovanú dvoma testami.
- MOLEKULÁRNOM SUBTYPE:** na základe RNA expresie génov nádorovej biológie.
- GÉNOVEJ SIGNATÚRE:** personalizované pre nádorovú biológiu a klinický stav pacientov.

VYSVETLIVKY K INTERPRETÁCII

V nasledujúcom reporte je každému génu/génovej signatúre priradené percentilové skóre, ktoré hodnotí úroveň expresie v kontexte pacientov zaradených do našej retrospektívnej kohorty. Pre štyri hlavné biomarkery rakoviny prsníka, estrogénový receptor (ESR1), progesterónový receptor (PGR), receptor Her2 (ERBB2) a Ki67 (MKI67), sú tieto percentilové hodnotenia v kontexte všetkých 1 013 zaradených pacientov. V prípade všetkých ostatných génov/génových signatúr sú percentilové poradia v kontexte ostatných pacientov patriacich do toho istého MOLEKULÁRNEHO SUBTPU. Napríklad pre pacientov klasifikovaných ako luminálny A dostanú gény a génová signatúra percentilové skóre v porovnaní so všetkými vzorkami luminálneho A v našej retrospektívnej validácii. Percentilové skóre nemusí nevyhnutne znamenať danú úroveň citlivosti alebo rezistencie na liečbu.

Percentil vzorky
Nízky (1-33)
Stredný (<33-66)
Vysoký (>66-100)

Skupiny percentilov a rozsahy

Subtyp	# pacientov
Luminálny A	432
Luminálny B	313
Her2+	87
Basal-like	181
Všetci pacienti	1 013

Počet pacientov v každom molekulárnom subtypu a celkovej retrospektívnej kohorte, ktoré sa používajú na určenie percentilového poradia



Multiplex8+ VÝSLEDKY



ZHRNUTIE VÝSLEDKOV

NIŽŠIE JE UVEDENÉ ZHRNUTIE A ĎALŠIE PODROBNOSTI SÚ UVEDENÉ NA NASLEDUJÚCICH STRANÁCH.

STAV RECEPTOROV

Vzorka	ESR1	PGR	ERBB2	MKI67
A	—	—	— nízky (low)	+

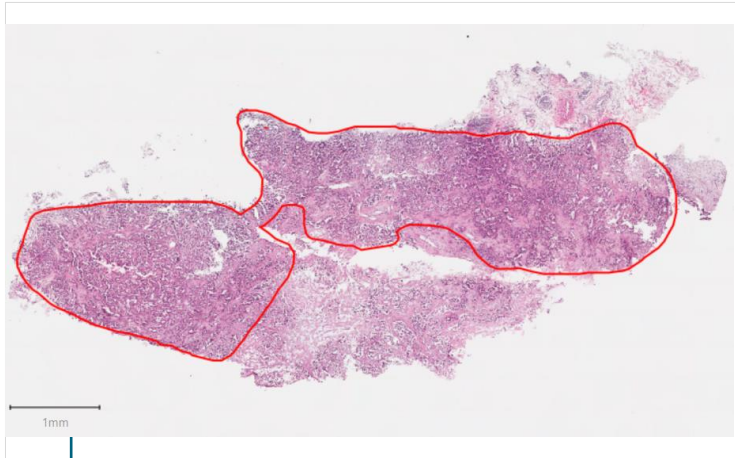
MOLEKULÁRNY SUBTYP

Vlastný subtyp	TNBC subtyp
Basal-like	Mezenchymálny (M)

RELEVANTNÁ LIEČBA

TERAPIA	KLÚČOVÉ ZISTENIA	KLINICKÝ BENEFIT
Bevacizumab (Avastin)	Molekulárny subtyp, génová expresia, génová expresná signatúra	Predpokladaný benefit
Gemcitabín a kapecitabín	Génová expresia	Predpokladaný benefit
Sacituzumab govitekan (Trodelvy)	Génová expresia	Predpokladaný benefit
Trastuzumab deruxtekan (Enhertu)	Génová expresia	Predpokladaný benefit
PI3K inhibítorm (alpelisib/Piqray)	Molekulárny subtyp, génová expresná signatúra	Predpokladaný benefit (off-label, klinické skúšky)
ADC v klinických skúškach	Génová expresia	Predpokladaný benefit (off-label, klinické skúšky)
Chemoterapia antracyklínom/taxánom	Molekulárny subtyp, génová expresia, génové expresné signatúry	Žiadny predpokladaný benefit
Atezolizumab, pembrolizumab, durvalumab	génová expresia, génové expresné signatúry	Žiadny predpokladaný benefit
Veliparib a karboplatina	Génová expresná signatúra	Žiadny predpokladaný benefit

LASEROVÁ ZÁCHYTNÁ MIKRODISEKCIÁ



Na základe histologického hodnotenia a expresie biomarkerov RNA-FISH bola jedna vzorka (**Vzorka A**) podrobnená laserovej mikrodisekcií pre ďalšiu analýzu.

STAV RECEPTOROV

Vzorka	ESR1	PGR	ERBB2	MKI67
A	-	-	- nízky (low)	+

Stav receptorov bol určený použitím **VIZUALIZAČNÉHO TESTU** ako aj **SEKVENAČNÉHO TESTU**: tabuľka znázorňuje výsledky po krízovej validácii.

INTERPRETÁCIA

- Výsledky z Multiplex8+ sú v súlade s imunohistochemickými nálezmi.

MOLEKULÁRNY SUBTYP

Vlastný subtyp	TNBC subtyp ²⁻⁴
Basal-like	Mezenchymálny (M)

Na základe **SEKVENAČNÉHO TESTU** sme na klasifikáciu vnútorného molekulárneho subtypu použili konsenzuálny prístup využívajúci našu vlastnú viac ako 293-génovú signatúru na molekulárnu subtypizáciu, výskumom podložený test PAM50 a metódu AIMS¹. Prípadný TNBC subtyp, bol klasifikovaný podľa Lehmanna²⁻⁴.

INTERPRETÁCIA

- Biológia basal-like typu nádoru je v súlade s imunohistochemickým a klinickým označením.
- Basal-like subtyp je podobný TNBC, pretože často chýba expresia hormonálnych a HER2 receptorov. Hoci pacientky s basal-like karcinómom prsníka lepšie reagujú na chemoterapiu, sú náchylnejšie na skorý relaps a majú horšiu prognózu.
- Mezenchymálny subtyp TNBC je charakterizovaný zvýšenou expresiou génov zapojených do epitelovo-mezenchymálnych prechodových dráh a dráh rastových faktorov, bunkovou proliferáciou, imunosupresívnym mikroprostredím nádoru, asociáciou s metaplastickým histologickým subtypom, slabou odpovedou na chemoterapiu a zníženým prežívaním²⁻⁴. Mezenchymálny podtyp TNBC môže dobre reagovať na liečbu zameranú na dráhy PI3K/mTOR.

GÉNOVÁ SIGNATÚRA

- Na základe prideleného molekulárneho subtypu a prípadného TNBC subtypu sme hodnotili niekoľko jednotlivých génov a génových signatúr, ktoré preukázali prognostický a prediktívny potenciál pre terapiu v skorých a pokročilých/metastatických štadiánoch.

Typ liečby / Dráha	Génová signatúra	Popis	Vzorka A percentil	
Prognóza	Consensus prognostic signature	Prognostická signatúra je odvozená z konsenzu troch prognostických signatúr založených na výskume: 21-génovej signatúry GENE21 ⁵ , 70-génovej signatúry GENE70 ⁶ a 50-génovej signatúry rizika relapsu založenej len na subtype (ROR-S) ⁷ . Prognostické signatúry sú určené pre pacientky s včasným štadiom karcinomu prsníka s ER+/Her2- IHC, negatívnymi lymfatickými uzlinami alebo 1 - 3 pozitívnymi lymfatickými uzlinami. Skóre sa uvádzajú ako vysoké, stredné alebo nízke. Pacientky s vysokým skóre signatúry majú vyššie riziko relapsu a môžu mať prospech z adjuvantnej chemoterapie, zatiaľ čo pacientky s nízkym skóre majú nižšie riziko relapsu a nemusia mať prospech z adjuvantnej chemoterapie.	N/A	

GÉNOVÁ SIGNATÚRA

Typ liečby / Dráha	Génová signatúra	Popis	Vzorka A percentil	
Luminálne signatóry	ESR1	Gény ESR1 a PGR kódujú estrogénové (ER) a progesterónové (PR) receptory, ktoré sa podieľajú na raste, metabolizme a reprodukčných funkciách. Vysoký ER/PR je prediktívny pre endokrinnú liečbu a nízky alebo negatívny ER/PR sa spája so zlou prognózou ⁸ .	Nízky (10)	
	PGR		Nízky (1)	
	ESR1_PGR average	Priemerná expresia génov ESR1 a PGR. Vyššie hladiny hormonálnych receptorov sú prediktívnymi markermi pre endokrinnú liečbu.	Nízky (3)	
	E2F4_score	Táto génová signatúra hodnotí aktivitu transkripcného faktora E2F4 a jeho cieľov. Vysoká hodnota E2F4 signatóry sa spája s endokrinnou rezistenciou na inhibítory aromatáz a môže predpovedať citlivosť na inhibítory CDK4/6 ⁹ .	Nízky (30)	
Her2	ERBB2	Gén ERBB2 kóduje Her2, receptorovú tyrozínskú kinasu, ktorá sa podieľa na raste/proliferácii buniek a je prognostickým markerom a prediktívnym ukazovateľom odpovede na terapiu cielenú na Her2 ⁸ .	Nízky (22)	
	MUC4	Mucin 4 (MUC4) je glykoproteín, ktorý sa podieľa na rezistencii voči trastuzumabu prostredníctvom interakcií s receptorom Her2. Vysoká expresia MUC4 sa spája so zníženou citlivosťou na trastuzumab ¹⁰ .	Stredný (45)	
	NRG1	NRG1 kóduje neuregulin 1, ligand receptora Her3. V štúdii NeoSphere fázy II bola vysoká expresia génu NRG1 spojená so zníženou odpovedou na neoadjuvantný trastuzumab, ale nie s kombináciou trastuzumab-pertuzumab ¹¹ .	Nízky (0)	
	pSTAT3-GS	Signatúra, ktorá predpovedá fosforyláciu STAT3 a o ktorej sa zistilo, že predpovedá rezistenciu voči trastuzumabu v štúdii FinHer ¹² .	Stredný (39)	
	Her2_amplicon_MDX	Vlastná 43-génová signatúra MDX, ktorá sa používa na hodnotenie stavu Her2.	Nízky (20)	
	Module7_ERBB2	Signatúra Her2 signalizácie predpovedajúca odpoveď na viacnásobnú anti-Her2 liečbu v štúdii I-SPY2 ¹³ .	Stredný (48)	
Proliferácia	AURKA	Gén AURKA kóduje proteín Aurora Kinázu A, ktorý sa podieľa na proliferácii buniek a je nezávislým prognostickým markerom pri rakovine prsníka.	Stredný (37)	
	MKI67	MKI67 kóduje marker proliferácie, Ki67 proteín, ktorý je markerom zlej prognózy v ER+/Her2- nádoroch, ale nie v Her2+ alebo TNBC nádoroch. Zvýšená hladina Ki67 predpovedá aj citlivosť na neoadjuvantnú endokrinnú terapiu a chemoterapiu ⁸ .	Stredný (53)	
	Module11_proliferation	Proliferačný index použitý v štúdii I-SPY2 všeobecne predpovedá patologickú kompletnú odpoveď u pacientov s pozitívitou hormonálnych receptorov ⁴ .	Stredný (38)	
	Proliferation_MDX	Vlastná 7-génová signatúra MDX používaná na hodnotenie bunkovej proliferácie a krížovú validáciu MKI67.	Stredný (40)	
Inhibítory CDK4/6	CDK4	Cyklin-dependentné kinázy 4 a 6 (CDK4 a CDK6) sú dôležité proteíny, ktoré regulujú priebeh bunkového cyklu z fázy G1 do fázy S. Sú hlavnými cieľmi inhibítarov CDK4/6, ako sú palbociklib (Ibrance), ribociklib (Kisqali) a abemaciciklib (Verzenio); nie je však jasné, či úroveň ich expresie predpovedá citlivosť na inhibítory CDK4/6.	Stredný (60)	
	CDK6		Stredný (45)	
	CCNE1		Stredný (62)	
	CCND3	Zvýšená expresia regulátorov G1/S fáz bunkového cyklu, CCNE1, CCND3, a CDKN2D, bola spojená s rezistenciou na palbociklib (Ibrance) v jednoramennej neoadjuvantnej štúdii fázy II (NeoPalAna) ¹⁴ .	Vysoký (79)	
	CDKN2D		Stredný (57)	
PIK3CA mutácie	PIK3CA-GS	Génová signatúra, ktorá predpovedá mutácie v géne PIK3CA a následne aj odpoveď na liečbu inhibítormi PI3K alpelisibom (Piqray). Vysoké skóre PIK3CA-GS sa spája aj s aktiváciou dráhy PI3K/AKT a stratou signalizácie mTORC1, čo môže mať význam pre odpoveď na inhibítory mTOR (napr. everolimus) ¹⁵ .	Vysoký (100)	

GÉNOVÁ SIGNATÚRA

Typ liečby / Dráha	Génová signatúra	Popis	Vzorka A percentil	
Chemoterapia	TOP1	Gén kódujúci DNA topoizomerázu I, enzym kritický pre transkripciu DNA, je cieľom protinádorových liekov.	Nízky (30)	
	TOP2A	Gén kódujúci DNA topoizomerázu IIa, enzym kritický pre transkripciu DNA, je cieľom protinádorových liekov.	Nízky (20)	
	RAD51	Proteín DNA opravy RAD51 homológ 1 (RAD51) sa podieľa na oprave poškodenej DNA a je asociovaný s rezistenciou voči chemoterapii.	Vysoký (67)	
	ERCC1	Proteín excíznej DNA opravy ERCC-1 (ERCC1) sa podieľa na oprave poškodenia DNA a je asociovaný s rezistenciou voči chemoterapii.	Vysoký (71)	
	TYMS	Gén TYMS kóduje enzym timidát syntetázu, ktorý sa podieľa na biosyntéze DNA a je cieľom antimetabolitovej chemoterapie 5-fluorouracil ¹⁶ .	Stredný (34)	
	SLC29A1	Gén SLC29A1 kóduje proteín ENT1 (equilibrative nucleoside transporter 1), nukleozidový transportér, ktorý sa podieľa na transporte gemcitabínu a kapecitabínu ¹⁷ .	Vysoký (98)	
	DHFR	Dihydrofolátreduktázta je enzym kódovaný génom DHFR a podieľa sa na metabolizme folátov a raste buniek. Je cieľom antimetabolitovej chemoterapie metotrexát ¹⁸ .	Stredný (63)	
	SLC19A1	Gén SLC19A1 kóduje proteín RFC1 (reduced folate carrier 1), ktorý prenáša metotrexát do bunky ¹⁸ .	Stredný (36)	
	CDK12	Proteínový produkt génu CDK12 (Cyclin Dependent Kinase 12) reguluje transkripciu, dráhy opravy DNA a bunkový cyklus ¹⁹ .	Nízky (2)	
	MAPs_Mitotic_kinases_neoadj_chemo118	118-génová signatúra predpovedajúca odpoveď na neoadjuvantnú chemoterapiu pomocou liečiva taxán ²⁰ .	Nízky (6)	
	MAPs_Mitotic_kinases_neoadj_chemo17	17-génová signatúra predpovedajúca odpoveď na neoadjuvantnú chemoterapiu pomocou liečiva taxán ²⁰ .	Nízky (20)	
	Early_Relapse_ER.Neg	Génová signatúra chemorezistencia predpovedajúca skorý relaps u pacientov s negativitou ER (ER-) po chemoterapii liečivami taxán-antracyklín ²¹ .	Nízky (0)	
	Residual_disease_ER.Neg	Génová signatúra chemorezistence predpovedajúca reziduálne ochorenie u pacientov s negativitou ER (ER-) po chemoterapii liečivami taxán-antracyklín ²¹ .	Vysoký (87)	
	Pathologic_response_ER.Neg	Génová signatúra chemosenzitivitu predpovedajúca patologickú úplnú odpoveď u pacientov s negativitou ER (ER-) po chemoterapii liečivami taxán-antracyklín ²¹ .	Nízky (20)	
	Early_Relapse_ER.Pos	Génová signatúra chemorezistence predpovedajúca skorý relaps u pacientov s pozitívnotou ER (ER+) po chemoterapii liečivami taxán-antracyklín ²¹ .	Stredný (43)	
	Residual_disease_ER.Pos	Génová signatúra chemorezistence predpovedajúca reziduálne ochorenie u pacientov s pozitívnotou ER (ER+) po chemoterapii liečivami taxán-antracyklín ²¹ .	Stredný (57)	
	Pathologic_response_ER.Pos	Génová signatúra chemosenzitivitu predpovedajúca patologickú úplnú odpoveď u pacientov s pozitívnotou ER (ER+) po chemoterapii liečivami taxán-antracyklín ²¹ .	Stredný (60)	

GÉNOVÁ SIGNATÚRA

Typ liečby / Dráha	Génová signatúra	Popis	Vzorka A percentil	
Imunitný systém	PDCD1	PDCD1 kóduje marker imunitného kontrolného bodu PD-1. PD-1 je cieľom liečiva pembrolizumab (Keytruda), imunoterapie schválenej na liečbu prvej línie metastatického TNBC.	Nízky (29)	
	CD274	Gén CD274 kóduje marker imunitného kontrolného bodu PD-L1. PD-L1 je cieľom liečiva atezolizumab (Tecentriq), imunoterapie schválenej na liečbu prvej línie metastatického TNBC.	Nízky (15)	
	CTLA4	Antigén 4 asociovaný s cytotoxickými T-lymfocytmi (CTLA4) je marker imunitného kontrolného bodu a cieľ niekoľkých imunoterapeutických liekov, ako napríklad durvalumab (Imfinzi).	Nízky (8)	
	Module5_TcellBcell	Imunitné signatúry predpovedajúce odpoveď na pembrolizumab pacientov s TNBC zaradených do štúdie I-SPY2 ¹³ . Všetky signatúry, s výnimkou mastocytovej (Mast_cells), boli spojené so zvýšenou pravdepodobnosťou dosiahnutia patologickej kompletnej odpovede.	Nízky (4)	
	Chemokine12		Nízky (12)	
	STAT1		Nízky (16)	
	Dendritic_cells		Nízky (29)	
	Mast_cells		Nízky (9)	
DNA poškodenie a oprava	VCpred_TN	Signatúra reparácie poškodenia DNA / immunity predpovedajúca odpoveď na veliparib (inhibítorm PARP) a karboplatinu (štúdia I-SPY2) ¹³ .	Nízky (5)	
Angiogenéza / hypoxia	VEGFA	Gén kódujúci vaskulárny endotelový rastový faktor, proteín, ktorý sa podieľa na angiogenéze, vazodilatácii a raste endotelových buniek. VEGF je cieľom lieku bevacizumab (Avastin).	Stredný (44)	
	Hypoxia / Angiogenesis / Inflammatory_MDX	Vlastná 7-génová signatúra používaná na hodnotenie hypoxie, angiogenézy a zápalu. Signatúra zahŕňa gény, o ktorých je známe, že predpovedajú odpoveď na bevacizumab (Avastin) v neoadjuvantnej štúdii GeparQuinto ²² .	Stredný (56)	
Ciele konjugátov protilátky a liečiva (ADC)	ERBB2	Gén ERBB2 kóduje proteínový receptor Her2, ktorý je cieľom klasickej anti-Her2 liečby. Nízke a ultranízke hladiny Her2 môžu byť vhodné na liečbu konjugátom protilátky a liečiva (antibody-drug conjugate) trastuzumab deruxtekan (Enhertu) ²³ .	Nízky (22)	
	TACSTD2	Gén TACSTD2 kóduje Tumor-associated calcium signal transducer 2, nazývaný aj Trop-2, ktorý je cieľom liečiva sacituzumab govitekan (Trodelvy), konjugátu protilátky a liečiva (antibody-drug conjugate) schváleného na liečbu metastatického TNBC ²⁴ .	Vysoký (97)	
	NECTIN4	Gén NECTIN4 kóduje Nectin Cell Adhesion Molecule 4, bunkovú adhéznu molekulu, ktorá je cieľom konjugátov protilátkov s liečivami (antibody-drug conjugates) v klinických štúdiach rakoviny prsníka.	Vysoký (90)	
	ERBB3	ERBB3 kóduje proteín rodiny receptorov epidermálneho rastového faktora (EGFR) receptorových tyrozínskych kináz. Skúma sa v klinických skúškach pre konjugát protilátky a liečiva (antibody-drug conjugate) patritumab deruxtekan.	Vysoký (75)	
	FOLR1	FOLR1 kóduje folátový receptor alfa, ktorý je cieľom konjugátu protilátky a liečiva (antibody-drug conjugate) skúmaný na liečbu metastatického TNBC v niekoľkých klinických štúdiach fázy 1 a 2.	Vysoký (97)	
	F3	F3 kóduje tkaninový faktor, koagulačný faktor III, ktorý je cieľom niekoľkých konjugátov protilátkov a liečiv (antibody-drug conjugates) vo fáze 1 klinických skúšok.	Stredný (51)	
	SLC39A6	Gény SLC39A6 kódujú transportér zinku LIV-1, ktorý je vysoko exprimovaný v luminálnych karcinómoch prsníka a skúma sa v niekoľkých klinických štúdiach fázy 1 a 2.	Stredný (45)	
	TPBG	Trofoblastový glikoproteín (TPBG) je nadmerne exprimovaný v mnohých prípadoch rakoviny prsníka a je cieľom najmenej dvoch konjugátov protilátky a liečiva, ktoré sú vo fáze 1 klinických skúšok.	Vysoký (79)	

GÉNOVÁ SIGNATÚRA

Typ liečby / Dráha	Génová signatúra	Popis	Vzorka A percentil	
	ROR2	Gén, ktorý kóduje proteín Receptor Tyrosine Kinase Like Orphan Receptor 2, cieľ konjugátu protilátky a liečiva (Ozuriftamab Vedotin) (BA3021/CAB-ROR2-ADC), ktorý sa skúma vo fáze klinického skúšania pokročilých solídnych nádorov vrátane TNBC.	Nízky (2)	
	CD276	Tento gén kóduje marker imunitného kontrolného bodu nazývaný CD276 (známy aj ako B7-H3). Je cieľom konjugátu protilátky a liečiva (Mirzotamab clezutoclax) (ABBV-155), ktorý je vo fáze 1 a 2 klinického skúšania pokročilých solídnych nádorov vrátane karcinómu prsníka.	Stredný (41)	
	VTCN1	V-Set Domain Containing T Cell Activation Inhibitor 1 (VTCN1 nazývaný aj B7-H4) je marker imunitného kontrolného bodu a cieľ konjugátu protilátky a liečiva SGN-B7H4V, ktorý sa skúma vo fáze 1 klinického skúšania pokročilých solídnych nádorov vrátane karcinómu prsníka.	Vysoký (87)	
	CEACAM5	Gén, ktorý kóduje proteín CEA Cell Adhesion Molecule 5, cieľ konjugátu protilátky a liečiva Tusamitamab ravtansíne (SAR408701), ktorý sa skúma v 2. fáze klinického skúšania pokročilých solídnych nádorov vrátane karcinómu prsníka.	Stredný (34)	

INTERPRETÁCIA A ODPORÚČANIE

- Klasifikácia TNBC subtypu nádoru ako mezenchymálny (M) a stredná expresia markerov angiogenézy naznačujú, že bevacizumab (Avastin) môže byť vhodnou liečbou v metastatickom štádiu.
- Úrovne expresie nukleozidových transportérov, ako je SLC29A1, sú spojené s citlivosťou na gemcitabín a kapecitabín, pričom stredné/vysoké hladiny predpovedajú citlivosť.
- Vysoké hladiny TACSTD2 predpovedajú citlivosť na konjugát protilátky a liečiva (ADC) cielený na Trop-2, sacituzumab govitekan. Hoci nízke hladiny TOP1, ktorý je cieľom cytotoxickej zložky SN-38 sacituzumabu govitekanu, zmierňujú očakávaný prínos.
- Kedže vzorka je klasifikovaná ako ERBB2-low, pacientka môže mať prospech z ADC trastuzumabu deruxtekanu (Enhertu), ktorý je schválený pre pacientky s metastatickým karcinómom prsníka s nízkou expresiou Her2. Hoci nízka hladina TOP1, ktorý je cieľom cytotoxickej zložky trastuzumabu deruxtekanu, zmierňuje očakávaný prínos.
- Vysoká hladina PIK3CA-GS môže znamenať prítomnosť mutácií v géne PIK3CA. V kohorte METABRIC malo 16,1 % pacientov s basal-like subtypom mutáciu v géne PIK3CA. ER+/HER2- pacientky s určitými mutáciami PIK3CA môžu byť vhodné na liečbu inhibítormi PI3K, alpelisibom, podávaným s fulvestrantom. Predpokladá sa, že na inhibítory PI3K bude reagovať aj mezenchymálny subtyp TNBC. Kedže alpelisib nie je schválený pre pacientky s basal-like/TNBC subtypom, považuje sa za off-label, preto sa odporúča preskúmať možnosť zaradenia do klinických štúdií.
- Vzorka vykazuje vysokú expresiu viacerých cieľov konjugátov protilátky a liečiva vrátane NECTIN4, ERBB3, FOLR1, TPBG a VTCN1. Tie sa v súčasnosti skúmajú v klinických štúdiách rakoviny prsníka.
- Citlivosť na neoadjuvantnú/adjuvantnú chemoterapiu antracyklími/taxánmi podporuje basal-like molekulárny subtyp a stredná expresia proliferačných génov (MKI67) a génových signatúr (Proliferation_MDX). Sú však prítomné nízke hladiny génových signatúr citlivosti na antracyklínovú/taxánovú chemoterapiu (MAPs_Mitotic_kinases_neoadj_chemo118, MAPs_Mitotic_kinases_neoadj_chemo17 a Pathologic_response_ER.Neg) a markery rezistencie, ako je mezenchymálny subtyp TNBC, vysoká expresia RAD51 a ERCC1. Preto sa nepredpokladá prínos neoadjuvantnej/adjuvantnej chemoterapie antracyklími/taxánmi.
- Nízka expresia génov a génových signatúr súvisiacich s imunitou predpovedá, že pacientka nebude mať prospech z inhibítormi kontrolných bodov imunitného systému, ako sú atezolizumab, pembrolizumab alebo durvalumab.
- Nízka hodnota VCpred_TN predpovedá, že pacientka nebude mať prospech z veliparibu a karboplatiny. Upozorňujeme však na pozitívny stav BRCA1 a zdôrazňujeme, že táto signatúra nebola overená na predpovedanie účinnosti iných inhibítormov PARP, ako sú olaparib a talazoparib.

REFERENCIE

- 1.** Gendoo, D.M.A. et al. Bioinformatics 32(7): 1097–1099 (2016). **2.** Lehmann, B. D. et al. J Clin Invest 121: 2750–2767 (2011). **3.** Lehmann, B. D. et al. PLoS One 11: e0157368 (2016). **4.** Bareche, Y. et al. Ann Oncol 29: 895–902 (2018). **5.** Paik, S. et al. N Engl J Med 351(27): 2817–2826 (2004). **6.** van't Veer, L.J. et al. Nature 415(6871): 530–536 (2002). **7.** Parker, J.S. et al. J Clin Oncol 27(8): 1160–1167 (2009). **8.** Cardoso, F. et al. Ann Oncol 30(8): 1194–1220 (2019). **9.** Guerrero-Zotano, A.L. et al. Clin Cancer Res 24(11): 2517–2529 (2018). **10.** Mercogliano, M.F. et al. Clin Cancer Res 23(3): 636–648 (2017). **11.** Guardia, C. et al., Clin Cancer Res 27(18): 5096–5108 (2021). **12.** Sonnenblick, A. et al. BMC Med 13:177 (2015). **13.** Wolf, D. M. et al. Cancer Cell 40: 609–623.e6 (2022). **14.** Ma, C.X. et al. Clin Cancer Res 23(15): 4055–4065 (2017). **15.** Loi, S. et al. PNAS 107(22): 10208–10213 (2010). **16.** Foekens, J.A. et al. Cancer Res. 61: 1421–1425 (2001). **17.** Mackey, J.R. et al. Clin Cancer Res. 8(1): 110–116 (2002). **18.** Yang, V. et al. RSC Med Chem. 11(6): 646–664 (2020). **19.** Filippone, M.G. et al. Nat Commun. 13(1): 2642 (2022). **20.** Rodrigues-Ferreira, S. et al. Proc Natl Acad Sci USA 116(47): 23691–23697 (2019). **21.** Hatzis, C. et al. JAMA 305(18):1873-81 (2011). **22.** Karn, T. et al. Clin Cancer Res 26: 1896–1904 (2020). **23.** Modi, S. et al. N Engl J Med 387: 9–20 (2022). **24.** Michaleas, S. et al. ESMO Open 7 (2022).